

بررسی جذب امواج راداری در ناحیه فرکانسی X توسط نانوکامپوزیت فریتی در بستر پلی‌یورتان

بزرگمهر مداد^{۱*}، علی داودی^۲، محمدرضا خاکباز^۳

۱-دانشیار، دانشگاه جامع امام حسین (ع) ۲-دانشیار، ۳-دانشجوی کارشناسی ارشد، مهندسی مواد علوم تحقیقات، واحد خراسان رضوی

(دریافت: ۹۳/۰۲/۲۸، پذیرش: ۹۳/۱۲/۱۳)

چکیده

رادار به عنوان یک سیستم مهم در میدان جنگ مدرن برای تشخیص و از بین بردن توان نظامی دشمن مورد استفاده قرار می‌گیرد. استفاده از مواد جاذب رادار، یکی از روش‌های مرسوم در برابر حسگر راداری می‌باشد. این مواد، انرژی رادار را جذب می‌کنند، تابش برگشت داده شده را کاهش می‌دهند و در نتیجه از شناسایی جلوگیری می‌کنند. نانوکامپوزیت‌های مختلفی برای اتلاف امواج راداری، در این تحقیق آزمایش شد و از میان آن‌ها نانوکامپوزیت پلی آنیلین، نانوکسید آهن و نانوکسید تیتانیوم بر پایه پلی‌یورتان با موفقیت تهیه شد. همچنین تأثیر ضخامت و درصد غلظت این نانوکامپوزیت‌ها بر میزان جذب امواج، مورد بررسی قرار گرفت. نتایج نشان داد که حداقل افت انعکاسی که در محدوده فرکانسی ۱۲-۸ گیگاهرتز برای کمپوزیت با ضخامت ۷/۵ میلی‌متر برای فرکانس ۹/۷ گیگاهرتز مشاهده می‌شود، حدود ۲۲/۵ دسی‌بل است.

کلید واژه‌ها: جذب امواج رادار، نانوکامپوزیت، نانوذره تیتان، پلی‌یورتان، نانوذرات Fe_3O_4

Investigation of X Frequency Microwave Absorbance of Ferrite Nano-Composite in Polyurethane Matrix

B. Madah^{*}, A. Davoudi, M. R. Khakbaz

Imam Hossein University

(Received: 18/05/2014; Accepted: 04/03/2015)

Abstract

In modern battlefield, Radar has emerged as an important sensor to detect and target the military equipment of enemy. The camouflage against radar sensor is mainly achieved through the use of radar absorbing materials (RAM). These materials absorb most of the radar incident energy, thereby reducing the reflected signal to minima, and thus locking the capability of radar detection. In this study, the ability of different nanocomposites were examined to measure the reflection loss. Polyaniline, iron oxide and titanium oxide nanocomposite on Polyurethane substrate was successfully tested and absorbed good amount of radar waves. In order to optimize the reflected loss (the amount of absorbance), the effect of parameters such as thickness and concentration of nanocomposite were considered. The results indicated that the maximum loss in range of 8-12 GHz for a thickness of nanocomposite as 7.5 mm, is about 22.5 dB at 9.7 GHz .

Keywords: Radar Absorbing, Nanocomposite, Titanium Oxide, Polyurethane, Fe_3O_4 Nano-Particle.

*Corresponding Author E-mail: bozorgmaddah@yahoo.com

Advanced Defence Sci. & Tech., 2016, 6, 1-8.

۱. مقدمه

جادب‌های ایده‌آل کمک کنند [۳]. استفاده تنها از پلیمر به عنوان جاذب موج الکترومغناطیس برای تولید افت مغناطیسی/ الکتریکی کافی نیست و همچنین کاربرد آن را در فرکانس‌های بالا محدود می‌کند. مواد نانوساختار به علت مساحت سطح بیشتر، اثر تونل کوانتموی باعث افزایش افت مغناطیسی و الکتریکی زیادتری می‌شوند. ترکیب پلیمرها و نانومواد به علت افت بزرگ الکتریکی/ مغناطیسی مواد معدنی و قابلیت پوشش دهنی و روان‌کنندگی پلیمرها امکان یک استراتژی بهینه برای طراحی مواد جاذب بسیار خوب را فراهم می‌کند مواد جاذب امواج الکترومغناطیس به طور کلی به دو دسته اصلی تقسیم می‌شوند:

الف- جاذب‌های دی‌الکتریک

ب- جاذب‌های مغناطیسی

دسته اول جاذب‌های دی‌الکتریک هستند. این جاذب‌ها گذردهی حقیقی پایین و گذردهی موهومی بالا داشته و رسانایی نیز ارائه می‌کنند و جذب بالایی البته در ضخامت بیشتر نشان می‌دهند.

جادب‌های دی‌الکتریک انرژی موج را گرفته و تبدیل به حرارت می‌کنند و بدین ترتیب از انعکاس جلوگیری می‌شود [۴]. برای تهیه جاذب‌های دی‌الکتریک به دو صورت عمل می‌شود. در حالت اول از پلیمرهای رسانا استفاده می‌شود و با تهیه کامپوزیت این پلیمرها با نانوذرات دارای ضریب دی‌الکتریک بالا مانند اکسید تیتانیوم، نانوکامپوزیتی رسانا با خاصیت دی‌الکتریک خوب به دست می‌آید که توانایی بالایی در جذب امواج الکترومغناطیس دارد [۵]. در حالت دوم از کامپوزیتی بر پایه پلیمرهای نارسانا با ضریب دی‌الکتریک بالا و پرکنندگاهای رسانا مانند گرافیت، نانولوله‌های کربنی، فلورن، کربن سیاه و ... استفاده می‌شود [۶]. دسته دوم، جاذب‌های مغناطیسی هستند. این مواد به چندین دسته تقسیم می‌شوند؛ که بهترین مواد مغناطیسی برای جذب امواج الکترومغناطیس، فریتها هستند [۷]. تراوایی موهومی بیشتر نسبت به تراوایی حقیقی، میزان جذب امواج را بیشتر می‌کند. این جاذب‌ها پهنهای جذب فرکانسی را پهن‌تر کرده، میرایی را افزایش داده و ضخامت پوشش جاذب را کاهش می‌دهد. فریتها با ترکیب‌های مختلف، پودرهای کربونیل آهن و نیکل از جمله مواد مغناطیسی هستند که استفاده می‌شوند. برخی از نگهدارنده‌های متداول نیز سرامیک‌ها، رزین‌ها، پلاستیک‌ها، لاستیک‌ها هستند. دسته‌های دیگری نیز از مواد جاذب وجود دارد که از آن جمله فروالکتریک‌ها هستند؛ که ضریب دی‌الکتریک بالایی دارند. سیجنتو مغناطیس دسته‌جديدة از مواد هستند که همزمان خاصیت فرومغناطیسی و آنتی‌فرومغناطیسی یا فروالکتریکی و فرومغناطیسی دارند. این مواد در ضخامت‌های کمتر جذب بیشتری نسبت به سایر جاذب‌ها از خودشان نشان می‌دهند. نانومواد دانسیته پایین، افت مغناطیسی و الکتریکی بالایی دارند،

اگرچه تجهیزات الکتریکی برای راحتی بیشتر زندگی بشر ساخته شده‌اند اما آنودگی الکترومغناطیسی خطرات فراوانی را متوجه انسان و دستگاه‌های حساس می‌کند؛ بنابراین باید با روش‌های از تأثیر امواج بر بشر و دستگاه‌های حساس جلوگیری کرد. یکی از این روش‌ها استفاده از پوشش‌های جاذب امواج است. از طرف دیگر، برای جلوگیری از آشکار شدن و شناسایی اشیاء و تجهیزات به وسیله امواج الکترومغناطیسی (مانند امواج رادار) نیاز به اقدامات متقابل داریم. اقدامات متقابل در برابر طیف راداری شامل اقداماتی است که بر امواج راداری اثر گذاشته و بیشترین اتلاف را داشته باشند و در نتیجه امواج به گیرنده امواج رادار بررنگردد. از این اقدامات می‌توان به کاهش سطح مقطع راداری^۱ (RCS)، استفاده از مواد جاذب رادار^۲ (RAM) و یا استفاده از موادی که پخش راداری آن‌ها مطلوب است اشاره کرد [۱]. امواج رادار، موج‌های الکترومغناطیسی با محدوده طول موجی بلندتر از یک متر و کوتاه‌تر از یک میلی‌متر یا برابر با آن، با فرکانسی بین $۰/۳$ گیگاهرتز تا ۳۰۰ گیگاهرتز هستند. مواد جاذب تابش الکترومغناطیس برای استئار در برابر امواج رادار برای تجهیزاتی مانند تانک، هوایپیما و تأسیسات حساس، فوق العاده اهمیت دارد [۲].

در حالت ایده‌آل مواد جاذب امواج باید دارای وزن سبک، ضخامت کم، میزان جذب امواج الکترومغناطیس بالا، پهنهای وسیع فرکانس جذب را داشته باشند. در گذشته تلاش‌های قابل توجهی برای ساخت و طراحی مواد مختلف جهت رسیدن به اهداف ایده‌آل ذکر شده صورت گرفته و مواد متفاوتی برای جذب موج الکترومغناطیس به کار رفته است. مواد معدنی مرسوم، همانند فریتها و پودرهای فلزی با افت الکتریکی یا مغناطیسی بالا تولید شده‌اند، اما معایب آن‌ها کاربرد استفاده گسترده آن‌ها را محدود می‌کند. برای مثال آن‌ها به طور نسبی دانسیته بالایی دارند و باعث افزایش وزن زیادی می‌گردند. آن‌ها اغلب رسانایی الکتریکی داشته و منجر به کاهش سریع تراوایی در فرکانس‌های بالا به علت اتلاف جریان گردایی شده و پهنهای فرکانس‌های باند جذب آن‌ها نسبتاً باریک است. این مواد اغلب به عنوان جاذب موج‌های الکترومغناطیس در فرکانس‌های پایین، به عنوان نمونه در آسمان‌خراش‌های بدون انعکاس استفاده می‌شوند. پلیمرها با دانسیته پایین (به عنوان مثال دانسیته پلی‌آیلین $۱/۱$ گرم بر سانتی‌متر مکعب و حتی دانسیته پلی‌استیلن فوم مانند $۰/۰۴$ گرم بر سانتی‌متر مکعب است) و قابلیت هدایت جریان الکتریکی و خواص مغناطیسی مناسب می‌توانند مشکلات ذکر شده در بالا را حل کنند و به طراحی

^۱ Radar Cross Section

^۲ Absorption Material Radar

در ناحیه $10/4$ GHz ۱۰/۴ کاهش اتلاف موج $15/3$ دسی‌بل را نشان می‌داد. چوبی و همکاران [۲۱] کامپوزیت جدیدی از اپوکسی، شیشه و آرامید با ساختار ساندویچی تهیه و خواص جذب رادار آن را بررسی کردند. همچنین آن‌ها موفق شدند که یک نانوساختار جاذب امواج رادار که دارای خصوصیات دی‌الکتریک مناسب برای جذب در ناحیه \times است را طراحی کنند [۲۲]. با توجه به متون مشخص شده است که عواملی مانند ثابت دی‌الکتریک، ثابت تراوایی، رسانایی و اندازه ذرات بر روی جذب و اتلاف امواج الکترومغناطیس تأثیرگذار هستند. در این تحقیق برای بررسی خصوصیات جذب راداری موادی انتخاب می‌شود که هریک از مواد حداقل دارای یک ویژگی منحصر به فردی از این خصوصیات باشند و با این مواد کامپوزیتی تهیه می‌گردد که شامل جمیع این ویژگی‌ها باشد. برای حصول به این هدف، آزمایش‌ها و مواد مختلف مورد بررسی قرار گرفت و درنهایت برای تولید ثابت دی‌الکتریک از نانوذرات اکسید تیتانیوم، برای ثابت تراوایی از نانوذرات فریت اکسید آهن (III) و برای رسانایی از پلیمرهای رسانا مانند پلی‌آئیلین همچنین پوشش کامپوزیت از پلی‌بورتان استفاده شد. همچنین درصدهای مختلف از کامپوزیت برای رسیدن به بهترین نتیجه مورد بررسی قرار گرفت.

۲. مواد، دستگاه‌ها و روش‌ها

۲-۱. مواد و دستگاه‌ها

دو دسیل سولفات سدیم، پارافین، آمونیوم پرسولفات، کلرید آهن (II) ۴ آبه، کلرید آهن (III)، آمونیاک، تیتانیوم ایزوپروپوکسید، کلرید آهن (III) ۶ آبه‌آنیلین، همگی از شرکت Network Analyser System. hp 8510 مرك خردباری شده است. دستگاه عددی ۵۰-۲ گیگاهرتز به کار گرفته شد. این دستگاه با توجه به نیاز کاربر می‌توان فرکانس‌های متفاوتی را بر روی آن تنظیم نمود. این دستگاه داده‌ها را به صورت نمودار و یا دیجیتال بر اساس فرکانس‌های متفاوت ذخیره می‌نماید و می‌تواند بیشترین و کمترین فرکانس، بیشترین اتلاف برحسب دسی‌بل و برحسب درصد داده‌ها را ارائه نماید. نمونه‌ها از نظر اندازه باید یا در اندازه 150×10 میلی‌متر و یا به اندازه $22/5 \times 10$ میلی‌متر باشند (اندازه دهانه دستگاه آنالیزور) که برای درست‌کردن نمونه قالب‌های بهاندازه‌های فوق تهیه گردید. اولتراسونیک (Bandelineonoxr Digitec Type : DT 255) و میکروسکوپ الکترونی روبشی (SEM) (مدل 30 Philips-XL) برای کار استفاده شد.

در نتیجه برای جذب موج الکترومغناطیس با ضخامت نازک مناسب هستند. اما تهیه و کاربرد عملی آن‌ها مشکل می‌باشد. نانوکامپوزیت‌های بر پایه پلیمر هر دو خصوصیت افت موج بالا و قابلیت تهیه آسان را دارند [۸].

تحقیقات بر روی جاذب‌های امواج الکترومغناطیس در سال ۱۹۳۰ شروع شد [۹]. اولین مقاله در سال ۱۹۳۶ در هلند چاپ شد که مربوط به بررسی جاذب از نوع رزونانسی با استفاده از کربن سیاه به عنوان ماده اتلاف موج و تیتانیوم‌اکساید با گذردهی بالا برای کاهش ضخامت بود. بررسی بیشتر بر روی مواد جاذب حاوی کربن و گرافیت، کربنیل آهن و فریت‌ها ادامه یافت [۱۰]. در حال حاضر دی‌الکتریک‌های مصنوعی با اضافه کردن ناخالصی مانند میله، سیم، دیسک و ناخالصی‌های مارپیچی برای بهبود جذب مورد استفاده قرار می‌گیرد [۱۱]. همچنین فیلم‌های از فریت‌های اکسید آهن (III) تهیه شد که این فیلم‌ها در ۴ و در ۱۲-۱۸ گیگاهرتز به ترتیب ۱۰ و ۲۰ دسی‌بل اتلاف موج داشته‌اند تهیه گردید [۱۲ و ۱۳]. در سال‌های اخیر پلیمرهای رسانا به عنوان ماده اصلی مورد استفاده برای جذب امواج رادار به کار می‌رود [۱۴ و ۱۵]. پلیمرهای رسانا مزایای زیادی همانند وزن سبک، رسانایی تنظیم‌پذیر یا حتی خواص مغناطیسی داشته و از این‌رو خواص جذب موج الکترومغناطیس بسیار خوب با پهنهای فرکانس جذب پهن دارند. نانوموادی که از ضریب تراوایی و دی‌الکتریک بالایی برخوردار هستند هنگامی که با پلیمرهای رسانا ترکیب شده و تشکیل نانوکامپوزیت را می‌توانند می‌توانند زمینه یک جاذب ایده‌آل استفاده شوند [۱۶]. پلی‌بورتان به عنوان زمینه پوشش‌ها، کامپوزیت‌ها و نظیر این‌ها استفاده می‌شود، زیرا خواص مکانیکی بسیار خوب، سازگاری زیستی خوب، انعطاف‌پذیری در طراحی، وزن سبک و قیمت پایینی دارد. نانوکامپوزیت نانولوله‌های کربنی بر پایه پلی‌بورتان تهیه شده است. کامپوزیت با ۵ درصد وزنی نانولوله کربنی خواص جذب بهتری نشان می‌دهد و مکانیزم جذب به طور عمده در اثر افت دی‌الکتریک نانولوله می‌باشد. پلی‌بورتان به جهت ارزان بودن و تشکیل توده‌های متخلخل که در اتلاف امواج مؤثر بوده و می‌تواند یک بستر مناسب باشد و نتایج خوبی با این بستر بدست آمده است [۱۷]. فیلم‌هایی از فریت‌های اکسید آهن (III) تهیه شده که در ۴ و در ۱۲-۱۸ گیگاهرتز به ترتیب ۱۰ و ۲۰ دسی‌بل اتلاف موج داشته‌اند [۱۸]. چن و همکاران [۱۹] با استفاده از فریت اکسید آهن (III) به صورت هسته-پوسته جاذب‌های با ضخامت ۲ میلی‌متر تهیه کردند که دارای باند اتلاف نسبتاً پهن با ماکزیمم اتلاف در ۱۰ دسی‌بل در ۶/۹۶ GHz بود. حسینی [۲۰] با بررسی خواص فریت‌ها و پلی‌آنیلین موفق به تهیه فریت منگنز در بستر پلی‌آنیلین شد که

با اسید کلریدریک و آب مقطر شستشو شده و به مدت ۲۴ ساعت تحت دمای 60°C خشک گردید. پودر سبزرنگ نشانه تولید پلی آنیلین است.

۴-۲. سنتز نانوذرات اکسید تیتانیوم

ابتدا $10/5$ میلی لیتر معادل ($0/6$) مول آب مقطر، 9 میلی لیتر معادل ($1/5$) مول اتانول و $0/8$ میلی لیتر معادل ($0/002$) مول اسید کلریدریک در درون بالن 100 میلی لیتری مجهری همزن مغناطیسی ریخته شد و سپس درون بالن در حالتی که محتویاتش در دمای اتاق به شدت هم زده می شد، مقدار 3 میلی لیتر ($0/1$ مول) تیتانیوم ایزوپروپوکسید به آرامی و قطره قطره اضافه گردید. رسوب سفیدرنگی تشکیل شد؛ و به منظور دستیابی به پیشرفت واکنش، نمونه همراه با عمل همزدن به مدت یک هفته در دمای اتاق قرار گرفت، محتویات بالن پس از فیلتراسیون به مدت 2 ساعت در دمای 50°C خشک شد [۱۸].

۵-۲. تهیه نانو کامپوزیت اکسید آهن (III) / پلی آنیلین / اکسید تیتانیوم

ابتدا $1/0$ مول هگزانویک اسید برای تهیه نانو کامپوزیت، معادل $1/44$ گرم با $0/1$ مول مونومر آنیلین، معادل $9/3$ گرم در 20 میلی لیتر آب مقطر به مدت 30 دقیقه با همزن مغناطیسی هم زده شد. $1/0$ گرم نانو اکسید تیتانیوم و $0/1$ گرم نانو اکسید آهن (Fe_3O_4) را داخل محلول (بعد از برداشتن همزن مغناطیسی) ریخته و تحت التراسونیک به مدت 4 ساعت قرار گرفت بعد از اولتراسونیک مقدار $2/28$ گرم آمونیوم پر سولفات، در 20 میلی لیتر آب مقطر حل نموده و توسط بورت، طی 2 ساعت به محلول اضافه و همزمان هم زده شود. محلول حاصل محسول سه بار با آب مقطر درجه سانتی گراد قرار گرفت. درنهایت محسول سه بار با آب مقطر و سه بار با متانول شستشو شده و 2 ساعت در هاون قرار گرفت.

۶-۲. اندازه گیری میزان جذب

با استفاده از روابط امیزان افت انعکاس (RL) توان موج برگشتی داده های آنالیزگر طیفی را به صورت درصد جذب تبدیل می کنیم. در این رابطه RL میزان افت انعکاس بر حسب دسی بل (dB) می باشد.

$$\% \text{ Absorption} = 1 - 10^{(\frac{RL}{10})} \quad (1)$$

برای مثال نمونه ای با افت dB 9 دارای درصد جذب $87/4$ می شود.

$$87/4 = (1 - 10^{(-9/10)}) \times 100$$


(الف)



(ب)

شکل ۱. (الف) دهانه $150 \times 100 \times 100$ میلی متر مورد استفاده در دستگاه آنالیز (ب) دهانه $22/5 \times 10 \times 10$ میلی متر

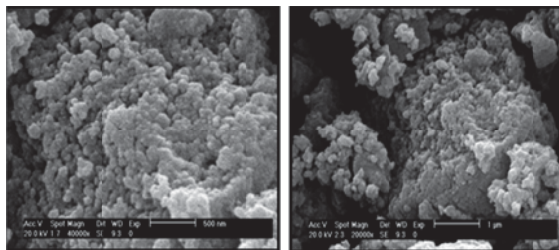
۲-۲. سنتز نانو ذرات Fe_3O_4

یک بالن سدهانه با استن شسته و خشک شد. 450 میلی لیتر آب مقطر را داخل بالن ریخته و در حمام آب 20°C قرار داده شد؛ و مقدار $3/18$ گرم FeCl_2 و $6/49$ گرم FeCl_3 داخل آب مقطر با 60°C اضافه می گردد. گاز N_2 به داخل ظرف دمیده شد و به مدت یک ساعت با همزن مکانیکی خوب به هم زده شد و سپس مقدار 30 میلی لیتر آمونیاک به تدریج به محلول داخل بالن اضافه گردید و بعد از مدت یک ساعت بالن را از داخل حمام آب 20°C بیرون آورده و داخل یک بشر ریخته و روی آهن رسانی مغناطیسی قرار داده شد تا ذرات تنهشین گردد. سپس رسوب چندین بار با آب مقطر شسته شد و در هوای محیط خشک گردید. سپس نمونه با هاون خرد شد تا پودر نرمی حاصل گردد. مورفولوژی و اندازه نانوذرات مغناطیسی پودر حاصل با دستگاه SEM تعیین گردید.

۲-۳. سنتز پلی آنیلین

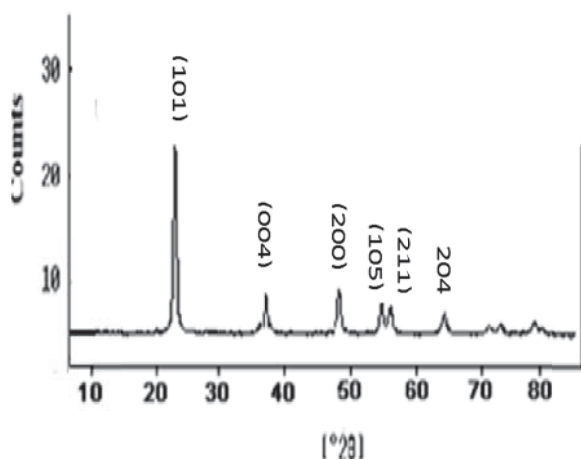
برای تهیه پلی آنیلین ابتدا $4/5$ میلی لیتر از آنیلین را به 70 میلی لیتر از اسید کلریدریک 2 مولار اضافه شده و در دمای 25 درجه سانتی گراد به مدت 20 دقیقه هم زده شد. سپس $4/5$ گرم از آمونیوم پر سولفات، در 20 میلی لیتر آب مقطر حل گردید و در مدت زمان ده دقیقه به محلول آنیلین اضافه شد و به مدت سه ساعت در دمای 20°C نگه داشته شد، محلول حاصل فیلتر شده و

با اندازه متوسط $40\text{-}80$ نانومتر می‌باشد.



شکل ۴. تصویر میکروسکوپی الکترونی نانوذرات اکسید تیتان با ساختار تقریباً کروی با اندازه متوسط $40\text{-}80$ نانومتر

با استفاده از فن XRD ساختار بلوری نانوذرات اکسید تیتانیوم تعیین شد. شکل (۵) الگوی پراش نانوذرات سنتز شده را نشان می‌دهد اندازه ذرات با میانگین‌گیری از اندازه‌های به دست آمده از پیک‌های شاخص اکسید تیتانیوم به دست می‌آید. به عبارت دیگر ابتدا اندازه ذرات برای هر نمونه در پیک‌های شاخص اکسید تیتانیوم در محدوده ذکر شده با استفاده از معادله شرر حساب می‌شود، سپس از اندازه‌های به دست آمده میانگین گرفته می‌شود و اندازه تقریبی نانوذره اکسید تیتانیوم 45 نانومتر محاسبه گردید.



شکل ۵. الگوی پراش XRD نانوذره اکسید تیتانیوم

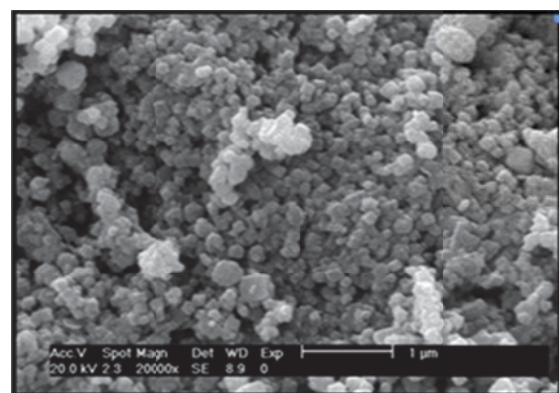
۳-۳. اثلاف امواج رادار با کامپوزیت پلی یورтан، پلی آنیلین

برای بررسی میزان تأثیرگذاری پلی آنیلین در جذب راداری کامپوزیت، ابتدا کامپوزیت آنیلین و پلی یورтан ($40:60$) در قالب $22/5 \times 10$ میلی‌متر تهیه شد. شکل (۶) نمودار افت انعکاس توان امواج برگشتی (برحسب dB) و نمودار جذبی به صورت درصد، برای کامپوزیت در شرایط غلظتی 40 درصد (وزنی/ وزنی) را نشان می‌دهد. طبق اطلاعات استخراج شده این کامپوزیت دارای بیشترین جذب در فرکانس (GHz) $9/7$ با بیشینه جذب 43 درصدی برخوردار می‌باشد.

۳. نتایج و بحث

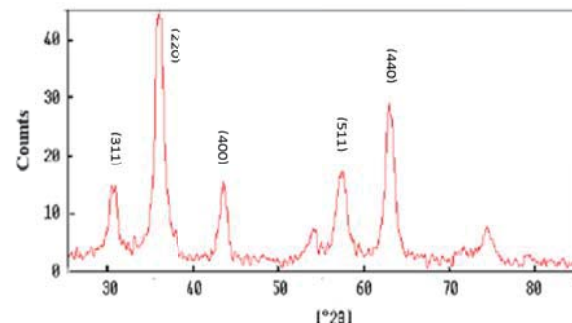
۳-۱. خصوصیات نانوذره مغناطیسی

تصاویر میکروسکوپ الکترونی روبشی از نانوذرات اکسید آهن (Fe_3O_4) در شکل (۲) نشان داده شده است. اندازه نانوذرات اکسید آهن $50\text{-}70$ نانومتر می‌باشد. تصویر SEM مربوطه نشان دهنده تشکیل نانوذرات مغناطیسی به مورفولوژی تقریباً مکعبی در سطح نانوذرات می‌باشد از این تصویر می‌توان استنباط که نانوذرات از گستره توزیع به نسبت مناسبی برخوردارند.



شکل ۲. تصویر میکروسکوپی الکترونی نانوذرات اکسید آهن (III) دارای مورفولوژی تقریباً مکعبی با اندازه $50\text{-}70$ نانومتر

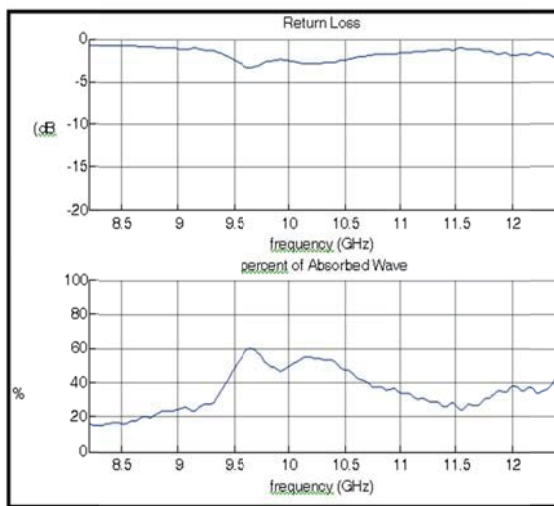
با استفاده از فن XRD ساختار بلوری نانوذرات مغناطیسی تعیین شد. شکل (۳) الگوی پراش نانوذرات سنتز شده را نشان می‌دهد که کاملاً بر الگوی ساختار بلوری مغنتیت خالص منطبق می‌باشد (بر اساس کارت دستگاه XRD No. 07-0322، JCPSD). به علاوه هیچ پیک ناخالصی مشاهده نمی‌شود. اندازه ذرات بر اساس معادله شرر 50 nm تخمین زده شد.



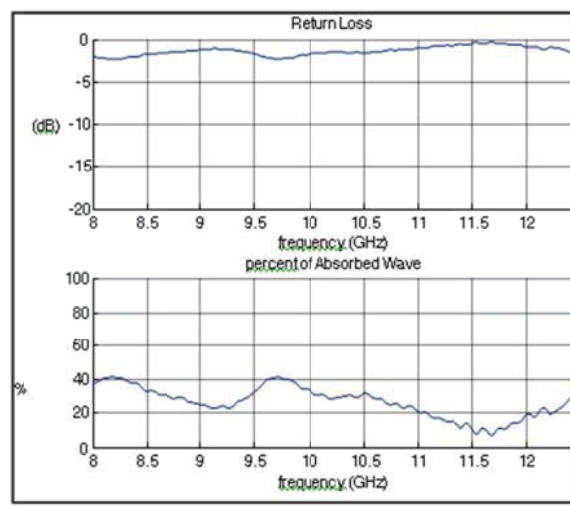
شکل ۳. الگوی پراش XRD نانوذرات اکسید آهن (Fe_3O_4) سنتز شده

۳-۲. خصوصیات نانوذره اکسید تیتانیوم

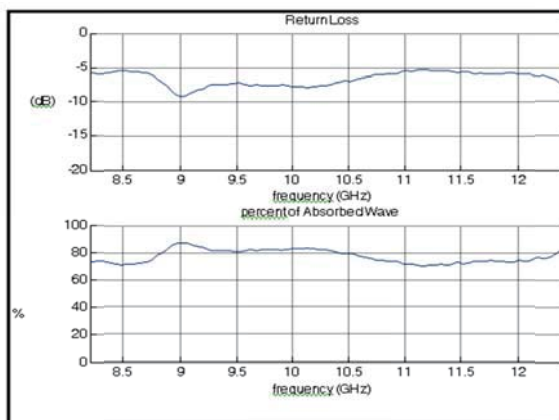
تصاویر میکروسکوپ الکترونی روبشی از نانوکسید تیتانیوم (TiO_2) با بزرگنمایی متفاوت در شکل (۴) نشان داده شده است، تصویر SEM مربوطه نشان دهنده تشکیل نانوذرات با ساختار تقریباً کروی



شکل ۷. اتلاف امواج رادار توسط کامپوزیت پلی‌بورتان، پلی‌آنیلین، نانواکسید تیتانیوم باضخامت ۴ میلی‌متر برای کامپوزیت در شرایط غلظتی ۴۰ درصد (وزنی/ وزنی)، نمودار بالا، افت انعکاس توان موج برگشتی (برحسب dB) و نمودار پایین، جذب بهصورت درصد



شکل ۶. اتلاف امواج رادار توسط کامپوزیت پلی‌بورتان، پلی‌آنیلین باضخامت ۴ میلی‌متر برای کامپوزیت در شرایط غلظتی ۴۰ درصد (وزنی/ وزنی)، نمودار بالا، افت انعکاس توان موج برگشتی (برحسب dB) و نمودار پایین، جذب بهصورت درصد



شکل ۸. اتلاف امواج رادار توسط کامپوزیت پلی‌بورتان، پلی‌آنیلین، نانواکسید Fe_3O_4 باضخامت ۴ میلی‌متر برای کامپوزیت در شرایط غلظتی ۴۰ درصد (وزنی/ وزنی)، نمودار بالا، افت انعکاس توان موج برگشتی (برحسب dB) و نمودار پایین، جذب بهصورت درصد

طبق اطلاعات استخراج شده این کامپوزیت، بیشترین جذب در فرکانس (GHz) ۹ با بیشینه جذب ۸۷ درصدی برخوردار می‌باشد. با افزایش چشمگیر جذب نشان‌دهنده نقش مهم نانوذرات Fe_3O_4 در جذب امواج رادار می‌باشد. نانوذرات Fe_3O_4 گونه پارامغناطیسی بوده بنابراین می‌تواند افت مغناطیسی زیادی ایجاد کند.

۳-۶. مقایسه کامپوزیت‌های تهیه شده با دو بستر پارافین و پلی‌بورتان

کامپوزیتی از پلی‌آنیلین، نانواکسید تیتانیوم، اکسید آهن در دو بستر متفاوت یعنی پلی‌بورتان و پارافین تهیه شد. خصوصیات طیفی این دو نمونه باهم مقایسه شده است (جدول ۱).

۴-۳. اتلاف امواج رادار با کامپوزیت پلی‌بورتان، پلی‌آنیلین، TiO_2 نانوذرات

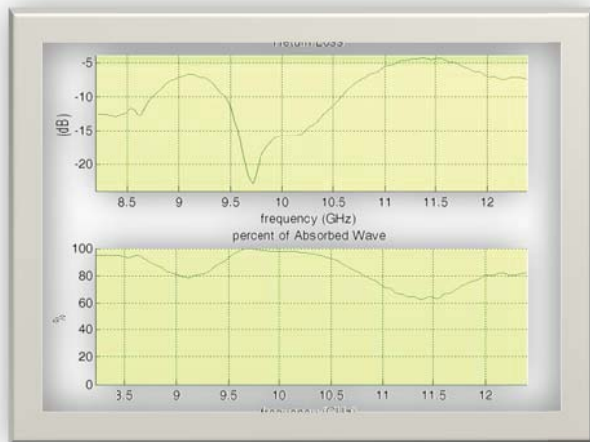
برای بررسی میزان تأثیرگذاری نانوذرات TiO_2 در جذب راداری کامپوزیت، ابتدا کامپوزیت آنیلین و پلی‌بورتان و نانوذرات TiO_2 در قالب $22/5 \times 10$ میلی‌متر تهیه شد. شکل (۷) نمودار افت انعکاس توان موج برگشتی برحسب (dB) و نمودار جذب امواج الکترومغناطیسی بهصورت درصد، برای کامپوزیت با درصد وزنی ۴۰ درصد را نشان می‌دهد. طبق اطلاعات استخراج شده این کامپوزیت دارای بیشترین جذب در فرکانس (GHz) ۹/۷ و با بیشینه جذب ۶۰ درصدی برخوردار می‌باشد. با مقایسه جذب بهدست آمده در بخش ۴-۲ می‌توان استنباط کرد که افزایش نانواکسید تیتانیوم باعث افزایش جذب شده است. همان‌طور که در مقدمه بررسی شد یکی از فاکتورها مؤثر در جذب داشتن ثابت دی‌الکتریک مناسب می‌باشد و از طرف دیگر نانواکسید تیتانیوم یک جاذب دی‌الکتریک خوبی می‌باشد.

۴-۵. اتلاف امواج رادار با کامپوزیت پلی‌بورتان، پلی‌آنیلین، نانوذرات Fe_3O_4

برای بررسی میزان تأثیرگذاری نانوذرات Fe_3O_4 در جذب راداری کامپوزیت، ابتدا کامپوزیت آنیلین و پلی‌بورتان و نانوذرات Fe_3O_4 در قالب $22/5 \times 10$ میلی‌متر تهیه شد. شکل (۸) نمودار افت انعکاس توان موج برگشتی برحسب (dB) و نمودار جذب امواج الکترومغناطیسی بهصورت درصد، برای کامپوزیت با درصد وزنی ۴۰ درصد را نشان می‌دهد.

جدول ۱. خصوصیات طیفی کامپوزیت‌های تهیه شده

نوع ماده	درصد ماده (%)	ضخامت نمونه (mm)	بهترین پهنای باند جذبی	فرکانس اتلاف (دسی بل)	بیشترین اتلاف (دسی بل)	درصد جذب
پلی آنیلین، نانوکسید تیتانیوم، اکسید آهن (III) در بستر پلارافین	۴۰ %	۷/۵	۸-۱۰/۵	۹/۲	۸	۸۴/۷
پلی آنیلین، نانوکسید تیتانیوم، اکسید آهن (III) در پلی یورتان	۴۰ %	۷/۵	۸-۱۲	۹/۶	۹/۲	۹۹/۵



شکل ۹. منحنی نمودار بالا، افت انعکاس توان موج برگشتی و منحنی نمودار پایین، جذب امواج میکروویو مربوط به نانوکامپوزیت پلی آنیلین، اکسید آهن (III)، نانوکسید تیتانیوم در بستر پلی یورتان با درصد وزنی ۴۰ و ضخامت ۷/۵ میلی‌متر می‌باشد.

۴. نتیجه‌گیری

نتایج و بررسی‌های به عمل آمده در این تحقیق نشان می‌دهد که با استفاده از پلیمر رسانایی پلی آنیلین می‌توان کامپوزیت‌های پلیمری با خاصیت مغناطیسی و رسانایی مناسب تهیه کرد. از آنجاکه نانوذرات مغناطیسی پایداری محیطی کمی دارند، به تنها یی قابلیت استفاده به عنوان جاذب امواج میکروویو را ندارند. لذا نیاز به نگهدارنده پلیمری داشته که پلیمر رسانایی پلی آنیلین این نقش را به عهده دارد. از طرف دیگر این پلیمر به علت داشتن خاصیت رسانایی مناسب قابلیت جذب موج داشته و همچنین به علت تهیه ساده‌تر این پلیمر و نیز قیمت مناسب بهترین گزینه برای استفاده می‌باشد، علت استفاده از نانوذرات اکسید آهن (Fe_3O_4) داشتن ضریب تراوایی مناسب و دلیل استفاده از نانوذرات اکسید تیتانیوم به دلیل وجود ضریب دی‌الکتریک مناسب می‌باشد. نتایج حاصل در این تحقیق نشان می‌دهد نانوکامپوزیت پلی آنیلین با نانوذرات اکسید آهن و نانوذرات اکسید تیتانیوم با ۴۰ درصد وزنی و با ضخامت ۷/۵ میلی‌متر و با اتلاف ۲۲/۵ دسی بل و ۹۹/۵ درصد اتلاف موج راداری می‌باشد.

همان‌طور که از داده‌های جدول مشخص است کامپوزیت با بستر پلی یورتان دارای جذب بالاتری می‌باشد از طرف دیگر پایداری حرارتی بالاتر پلی یورتان باعث می‌شود که کامپوزیت تهیه شده دارای استحکام مناسب برای اتصال به سطوح فلزی و سطوح پلیمری شود.

۷-۳. تأثیر درصد و ضخامت نانوکامپوزیت پلی آنیلین، نانوکسید تیتانیوم، اکسید آهن (III) و پلی یورتان بر جذب امواج رادار

از آنجایی که هر ماده‌ای در فرکانس مورد نظر در ضخامت خاصی بیشترین میزان جذب را ارائه می‌دهد لذا تعیین بهترین ضخامت لازم است. همچنین یکی از فاکتورهای موثر در جذب غلظت مواد جاذب است بنا براین، نمونه‌های با غلظت‌های ۱۰، ۲۰، ۳۰ و ۴۰ درصد و با ضخامت ۷/۵ و ۲/۵ از کامپوزیت تهیه شد و مورد آزمودن جذب رادار قرار گرفت. نتایج در جدول (۲) خلاصه گردیده شده است و همچنین نمودار جذبی بهترین کامپوزیت در شکل (۹) نمایش داده شده است.

جدول ۲. تأثیر درصد و ضخامت کامپوزیت پلی یورتان، پلی آنیلین، نانوکسید آهن (III)، نانوکسید تیتانیوم بر جذب امواج رادار

نوع ماده	درصد ماده (%)	ضخامت نمونه (mm)	بهترین فرکانس اتلاف (دسی بل)	بیشترین میزان اتلاف (دسی بل)	بیشترین درصد جذب
پلی آنیلین، نانوکسید تیتانیوم، Fe_3O_4 ، TiO_2 /پلی آنیلین، نانوکامپوزیت	۶	۷/۵	۹/۷	۲۲/۵	۹۹
	۴	۴	۹/۶	۱۲	۹۳
	۲	۲	۹/۴	۳/۱	۵۱
	۲	۷/۵	۹/۵	۱۲	۹۳
۲۰	۲	۴	۹/۵	۳/۶	۵۶
	۲	۲	۹/۶	۲/۲	۳۸
	۷/۵	۷/۵	۹/۵	۹/۲	۸۸
	۴	۴	۹/۳	۲/۷	۴۶
۴۰	۲	۲	-	-	-
	۲	۲	-	-	-

۵. مراجع

- [14] Gaylor, K. "Radar Absorbing Materials Mechanisms and Materials"; DSTO Materials Research Laboratory, 1989.
- [15] Jaggard, D. L.; Engheta, N. "ChiroSorb TM as an Invisible Medium"; Elect. Lett. 1989, 25, 173-174.
- [16] Jun, Z.; Jincheng, X.; Peng, T.; Wei, H. "Ferromagnetic and Microwave Absorption Properties of Copper Oxide-Carbon Fiber Composites"; J. Alloy Comp. 2009, 487, 304-308.
- [17] Kalaitzidou, K.; Fukushima, H.; Drzal, L. "A New Compounding Method for Exfoliated Graphite-Polypropylene Nanocomposites with Enhanced Flexural Properties and Lower Percolation Threshold"; Combus. Sci. Technol. 2007, 67, 2045-2051.
- [18] Wei, J.; Liu, J.; Li, S. "Electromagnetic and Microwave Absorption Properties of Fe_3O_4 Magnetic Films Plated on Hollow Glass Spheres"; J. Magn. Magn. Mater. 2007, 312, 414-417.
- [19] Chen, Y. J.; Gao, P.; Zhu, C. L.; Wang, R. X.; Wang, L. "Synthesis, Magnetic and Electromagnetic Wave Absorption Properties of Porous $\text{Fe}_3\text{O}_4/\text{Fe}/\text{SiO}_2$ Core/Shell Nanorods"; J. Appl. Phys. 2009, 106, 054303-4.
- [20] Hosseini, H.; Mohseni, S.; Asadnia, A.; Kerdari, H. "Synthesis and Microwave Absorbing Properties of Polyaniline/4 Nanocomposite"; J. Alloy Compd. 2011, 509, 4682-4687.
- [21] Choi, I.; Lee, D.; Lee D. G. "Hybrid Composite Low-Observable Radome Composed of E-glass/Aramid/Epoxy Composite Sandwich Construction and Frequency Selective Surface"; Compos. Struct. 2014, 117, 98-104.
- [22] Choi, I.; Lee, D.; Lee, D. "Optimum Design Method of a Nano-composite Radar Absorbing Structure Considering Dielectric Properties in the X-band Frequency Range"; Compos. Struct. 2015, 119, 218-226.
- [23] Xingwei, L.; Gengchao, W.; Xiaoxuan, L.; Dongming, L. "Surface Properties of Polyaniline/Nano- TiO_2 Composites"; Appl. Surf. Sci. 2004, 229, 395-401.
- [24] Xiaoling, Y.; Gang, L.; Duanming, Z.; Huahui, H. "An Optimizing Method for Design of Microwave Absorbing Materials"; Mater. Design. 2006, 27, 700-705.
- [25] Bueno, A. R.; Gregori, M. L.; Maria, C. S. "Microwave-absorbing Properties of $\text{Ni}0.5 \times \text{Zn}_{0.5-x}\text{Me}_2\text{xFe}_2\text{O}_4$ ($\text{Me}=\text{Cu}, \text{Mn}, \text{Mg}$) Ferrite Wax Composite in X-band Frequencies"; J. Magn. Magn. Mater. 2007, 320, 864-870.
- [1] Bing, T.; Liangjun, Y.; Taihong, S.; Linfeng, Y.; Youchun, Z. "Preparation of Nano-Sized Magnetic Particles from Spent Pickling Liquors by Ultrasonic-Assisted Chemical Co-Precipitation"; J. Hazard. Mater. 2009, 163, 1173-1178.
- [2] Huo, J.; Wang, L.; Haojie, Y. "Polymeric Nanocomposites for Electromagnetic Wave Absorption"; J. Mater. Sci. 2009, 44, 3917-3927.
- [3] Zhongzhu, W.; Hong, B.; Jian, L. "Magnetic and Microwave Absorbing Properties of Polyaniline/ Fe_2O_4 Nanocomposite"; J. Magn. Magn. Mater. 2008, 320, 2132-2139.
- [4] Petrov, V. M.; Gagulin, V. V. "Microwave Absorbing Material"; Inorg. Mater. 2001, 37, 93-98.
- [5] Sook, W. P.; Masato, T.; Jiro, W.; Noriyuki, K. "Microwave Absorption Behaviors of Polyaniline Nanocomposites Containing TiO_2 Nanoparticles"; Current Applied Physics. 2008, 8, 391-394.
- [6] Yuzun, F.; Haibin, Y.; Minghui, L.; Guangtian, Z. "Evaluation of the Microwave Absorption Property of Flake Graphite"; Mater. Chem. Phys. 2009, 115, 696-698.
- [7] Kimura, S.; Kato, T.; Hyodo, T. "Electromagnetic Wave Absorption Properties of Carbonyl Iron-Ferrite/PMMA Composites Fabricated by Hybridization Method"; J. Magn. Magn. Mater. 2007, 312, 181-186.
- [8] Truong, V. T.; Riddell, R. F. "Polypyrrole Based Microwave Absorbers"; J. Mater. Sci. 1998, 33, 4971-4976.
- [9] Emerson, W. H. "Electromagnetic Wave Absorbers and Anechoic Chambers Through the Years"; IEEE Trans. Antennas Propag. 1973, 21, 484-487.
- [10] Kasevich, R. S.; Broderick, F. "Broadband Electromagnetic Energy Absorber"; US Patent 5, 223, 849, 1993.
- [11] Cory, H.; Shiran, S.; Heilper, M. "An Iterative Method for Calculating the Shielding Effectiveness and Light Transmittance of Multilayered Media"; IEEE Trans. Electromag. Compat. 1993, 35, 451-456.
- [12] Chakravarty, S.; Mittra, R.; Williams, N. R. "Microwave Theory and Techniques"; IEEE Trans. Antennas Propag. 2001, 49, 1050-1056.
- [13] Wei, J.; Liu, J.; Li, S. "Electromagnetic and Microwave Absorption Properties of Fe_3O_4 Magnetic Films Plated on Hollow Glass Spheres"; J. Magn. Magn. Mater. 2007, 312, 414-417.